

УДК 519.624.1

О ПРИМЕНЕНИИ ПАРАМЕТРИЗАЦИИ ПРИ РЕШЕНИИ  
НЕЛИНЕЙНЫХ КРАЕВЫХ ЗАДАЧ

С.И.Фадеев

Обсуждается эффективный численный метод решения нелинейных краевых задач для системы обыкновенных дифференциальных уравнений. При этом используется метод Ньютона-Канторовича в сочетании с параметризацией, различные случаи применения которой рассмотрены на конкретных примерах математического моделирования стационарных химических реакций в зерне катализатора. Программная реализация метода позволила в рамках численного эксперимента унифицировать исследование достаточно широкого класса нелинейных краевых задач.

I. Рассмотрим краевую задачу для системы из  $n$  обыкновенных дифференциальных уравнений:

$$\begin{aligned} \frac{dy}{dx} &= f(x, y, \mu), \quad a < x < b, \\ x = a: \quad l(y, \mu) &= 0; \quad x = b: \quad g(y, \mu) = 0. \end{aligned} \tag{1}$$

Здесь  $y$  и  $f$  - векторы размерности  $n$ ;  $\mu$  - вектор параметров задачи размерности  $m$ ;  $f(x, y, \mu)$  - достаточно гладкая вектор-функция по совокупности аргументов в известной области, равно как и вектор-функции  $l(y, \mu)$  и  $g(y, \mu)$ , определяющие  $n$  независимых краевых условий. Предполагается, что краевая задача (I) имеет единственное решение, если  $\mu$  принадлежит некоторой окрестности точки  $\mu^0$ .

Как известно, мощным средством численного исследования нелинейных проблем является метод Ньютона-Канторовича [1]. Один из способов его применения к (I) состоит в том, что предварительно дифференциальная краевая задача аппроксимируется дискретной мо-

делью в виде конечномерной системы из  $N$  трансцендентных уравнений относительно  $N$  компонент вектора  $\mathbf{Y}$ :

$$\mathbf{F}(\mathbf{Y}, \mu) = 0. \quad (2)$$

Пусть  $\mu = \bar{\mu}$  и  $\mathbf{Y}^0$  — начальное приближение к точному решению  $\mathbf{Y}$  задачи (2). Согласно методу Ньютона-Канторовича последовательные приближения  $\mathbf{Y}^k$  строятся по правилу

$$\begin{aligned} \mathbf{Y}^{k+1} &= \mathbf{Y}^k + \Delta^k, \quad \Delta^k = -[\mathbf{F}_Y(\mathbf{Y}^k, \bar{\mu})]^{-1} \mathbf{F}(\mathbf{Y}^k, \bar{\mu}), \\ k &= 0, 1, 2, \dots \end{aligned} \quad (3)$$

Здесь  $\mathbf{F}_Y$  — матрица якобиана системы линейных алгебраических уравнений, определяющей поправку  $\Delta^k$ ;  $\mathbf{Y}^{k+1}$  — очередное приближение к решению задачи (2). Итерационный процесс прекращается, если  $\|\Delta^k\| < \epsilon$ , где  $\epsilon$  — заданное положительное число. Сходимость процесса и число итераций, за которое достигается выполнение условия  $\|\Delta^k\| < \epsilon$ , как правило, существенно зависит от выбора начального приближения  $\mathbf{Y}^0$ . Вообще говоря, задание начального приближения в итерационном процессе (3) является проблемой, во многих случаях определяющей эффективность использования метода Ньютона-Канторовича. При этом может оказаться полезной параметризация задачи (2) [2-8].

Введем скалярный параметр  $t$  и вместе с ним параметрическую зависимость  $\mu = \mu(t)$ , так что  $\bar{\mu} = \mu(\bar{t})$ . Иногда достаточно взять в качестве  $t$  одну из компонент вектора  $\mu$ . Пусть при  $t=\hat{t}$ ,  $\hat{\mu} = \mu(\hat{t})$  известно начальное приближение  $\mathbf{Y}^0$  решения системы  $\mathbf{F}(\mathbf{Y}, \hat{\mu}) = 0$ . Применив метод Ньютона-Канторовича, найдем решение  $\hat{\mathbf{Y}} = \mathbf{Y}(\hat{\mu})$  и, кроме того, матрицу якобиана

$$\mathbf{Y}_{\mu}(\hat{\mu}) = -[\mathbf{F}_Y(\hat{\mathbf{Y}}, \hat{\mu})]^{-1} \mathbf{F}_{\mu}(\hat{\mathbf{Y}}, \hat{\mu})$$

для вычисления производной

$$\frac{d\mathbf{Y}}{dt} \Big|_{t=\hat{t}} = \mathbf{Y}_{\mu}(\hat{\mu}) \frac{d\mu}{dt} \Big|_{t=\hat{t}}.$$

Продолжим теперь решение задачи (2), найденное при  $t=\hat{t}$ , по параметру  $t$ , устремив  $t$  к  $\bar{t}$  с шагом  $H$ . Полагая  $t = \hat{t} + H$ , выберем в качестве начального приближения решения системы  $\mathbf{F}(\mathbf{Y}, \mu)=0$ ,

$\mu = \mu(t)$  вектор

$$Y^0 = \hat{Y} + \frac{dY}{dt} \Big|_{t=\hat{t}} H,$$

и продолжим далее этот процесс вплоть до  $t = \bar{t}$ . (При этом, естественно, предполагается, что матрица  $F_Y$  остается невырожденной. Более общая ситуация будет рассмотрена в п.3) Если  $H$  достаточно мало, то это начальное приближение будет предсказывать точное решение с погрешностью  $O(h^2)$ .

Один из способов построения дискретной модели для задачи (I) сводится к следующему [2]. Введем сетку по  $x$  с узлами  $x_i$ :

$$a = x_1 < x_2 < \dots < x_M = b, \quad h_i = x_{i+1} - x_i$$

и обозначим через  $y^i$  значение, принимаемое решением (I) в  $i$ -м узле:  $y^i = y(x_i, \mu)$ . Очевидно, краевую задачу (I) можно представить в виде:

$$l(y^i, \mu) = 0, \quad g(y^M, \mu) = 0,$$

$$y^{i+1} = y^i + \int_{x_i}^{x_{i+1}} f[x, y(x, \mu), \mu] dx, \quad (4)$$

$i = 1, \dots, M-1.$

Искомая система трансцендентных уравнений следует из (4) после приближенной замены интеграла квадратурной формулой. Воспользуемся формулой Симпсона, которая точна на многочленах третьей степени. При этом в (4) вносится возмущение порядка  $h^4$ ,  $h = \max_i h_i$ . Сохранив за значениями сеточной функции обозначение  $y^i$ , получаем

$$l(y^i, \mu) = 0, \quad g(y^M, \mu) = 0,$$

$$\begin{aligned} P^i = y^i - y^{i+1} + \frac{h_i}{6} [f(x_i, y^i, \mu) + 4f(\frac{x_i + x_{i+1}}{2}, \bar{y}^i, \mu) + \\ + f(x_{i+1}, y^{i+1}, \mu)] = 0, \quad (5) \end{aligned}$$

$i = 1, \dots, M-1;$

т.е. систему трансцендентных уравнений вида (2), в которой  $F = [1, P^1, \dots, P^{M-1}, g]^T$ ,  $Y = [y^1, y^2, \dots, y^M]^T$  – составные векторы размерности  $N = Mm$ , здесь

$$\bar{y}^i = \frac{y^i + y^{i+1}}{2} + \frac{h_i}{8} [f(x_{i_1}, y^i, \mu) - f(x_{i+1}, y^{i+1}, \mu)].$$

Выражение  $\bar{y}^i$  задается значением кубической параболы в точке  $\frac{1}{2}(x_i + x_{i+1})$ , коэффициенты которой определяются по значениям  $y$  и  $dy/dx$  на концах отрезка  $[x_i, x_{i+1}]$  (эрмитова кубическая интерполяция [17]).

Важно отметить, что матрица  $F_Y$  системы (5) имеет блочную двухдиагональную структуру с, вообще говоря, заполненными блоками

$$F_Y = \begin{bmatrix} 1 \\ y^1 \\ P^1 \\ y^1 \\ \vdots & \ddots & \ddots & P^{M-1} \\ y^M & & y^M & g^M \\ \end{bmatrix}$$

Здесь блоки  $P_{y^1}^i$ ,  $P_{y^{i+1}}^i$  имеют размерность  $n \times n$  каждый; блоки  $1_{y^1}$  и  $g_M$  имеют размерность  $k \times n$  и  $(n-k) \times n$  соответственно, где  $k$  - число краевых условий в задаче (I) при  $x=a$ ,  $0 < k < n$ . Использование метода типа прогонки при решении системы линейных алгебраических уравнений, учитывающего структуру матрицы системы  $F_y$ , позволяет находить вектор поправок  $\Delta^i$  (3) на каждой итерации и вектор-столбец матрицы  $Y_\mu$  за число арифметических операций порядка  $N$ .

Приведем формулы вычисления элементов матриц  $P^1_u$  и  $P^1_{u+1}$ .

Для сокращения записи обозначим

$$u = y^i, \quad v = y^{i+1}, \quad w = \bar{y}^i, \quad h = h_i,$$

$$P = P^i = u - v + \frac{h}{6}[f(u) + 4f(w) + f(v)] = 0, \quad (6)$$

$$w = \frac{1}{2}(u-v) + \frac{h}{8}[f(u) - f(v)]$$

без перечисления в круглых скобках всех аргументов вектор-функции  $f$ . В результате производные  $P_u$  и  $P_v$  имеют следующие выражения:

$$P_u = I + \frac{h}{6}[f_y(u) + 2f_y(w) + \frac{h}{2}f_y(w)f_y(u)], \quad (7)$$

$$P_v = -I + \frac{h}{6}[f_y(v) + 2f_y(w) - \frac{h}{2}f_y(w)f_y(v)],$$

где  $f_y$  - матрица якобиана;  $I$  - единичная матрица.

Пусть  $Q$  - один из элементов вектора  $\mu$ . Соответствующий столбец матрицы  $F_\mu$  имеет вид:

$$F_Q = [l_Q, P_Q^1, \dots, P_Q^{M-1}, g_Q]^T,$$

где с учетом принятых обозначений

$$P_Q = \frac{h}{6}[f_Q(u) + 4f_Q(w) + 4f_y(w)w_Q + f_Q(v)],$$

$$w_Q = \frac{h}{8}[f_Q(u) - f_Q(v)].$$

Принимая во внимание способ аппроксимации задачи (I), следует ожидать, что предлагаемый метод будет эффективен при построении достаточно гладких, без сильных осцилляций решений краевой задачи \*).

2. Процедура продолжения решения по параметру была использована при расчете стационарных режимов многокомпонентной диффузии в зерне катализатора в условиях постоянства температуры и давления. Краевая задача, моделирующая процесс, имеет вид [I2-I4]:

\*)

Отметим хорошо известный эффективный подход, основанный на квазилинейаризации (I) с последующим применением метода ортогональной прогонки для решения линейных краевых задач на каждой итерации [9-II]. Наш выбор продиктован желанием распространить простым способом метод продолжения решения по параметру на случай, когда возможно ветвление решений (I) по параметру  $t$  (см.п. 3).

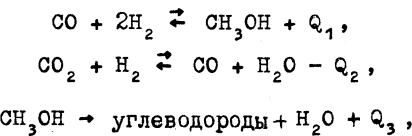
$$\frac{1}{r^2} \frac{d}{dr} (r^2 N_i) = F_i = \sum_{j=1}^{n_0} v_{ij} W_j, \quad 0 < r < r_0, \quad i = 1, \dots, n_0,$$

$$\frac{dc_i}{dr} = \sum_{\substack{j=1 \\ j \neq i}}^{n_0} \frac{1}{D_{ij}} (c_i N_j - c_j N_i), \quad (8)$$

$$r = 0: N_i = 0; \quad r = r_0, \quad c_i = c_i^0,$$

где  $r$  – линейная координата;  $r_0$  – радиус зерна;  $n_0$  – количество компонент;  $m_0$  – число реакций;  $c_i, c_i^0$  – мольная доля  $i$ -го вещества соответственно в зерне и на поверхности зерна;  $N_i$  – диффузионный поток;  $v_{ij}$  – стехиометрический коэффициент  $i$ -го вещества в  $j$ -й реакции;  $W_j$  – скорость реакции;  $D_{ij}$  – параметр, пропорциональный молекулярному коэффициенту диффузии.

В рамках математической модели (8) рассмотрим процесс получения углеводородов из синтез-газа, протекающего по схеме



где  $Q_j, j = 1, 2, 3$  ( $m_0 = 3$ ) – тепловой эффект  $j$ -й реакции. Таким образом, смесь реагирующих веществ состоит из шести компонент ( $n_0 = 6$ ). Соответствующие скорости реакции определяются по формулам [15]:

$$W_1 = K_1 \left[ c_2 \left( \frac{c_1}{c_5} \right)^{1/4} - K_2 \left( \frac{c_5}{c_1} \right)^{1/4} \right], \quad (9)$$

$$W_2 = K_3 (c_2 c_3 - K_4 c_1 c_4), \quad W_3 = K_5 c_5 + K_6 \frac{c_5^2}{c_1}.$$

Здесь  $c_i, i = 1, \dots, n_0$ , – концентрации веществ:  $c_1$  – окиси углерода,  $c_2$  – водорода,  $c_3$  – двуокиси углерода,  $c_4$  – воды,  $c_5$  – метилового спирта,  $c_6$  – углеводородов, причем  $c_1 + c_2 + c_3 + c_4 + c_5 + c_6 = 1$ ;  $K_i, i = 1, \dots, 6$ , – константы скоростей реакций.

Суммарные скорости образования (исчезновения) веществ имеют следующие выражения:

$$\begin{aligned} F_1 &= -W_1 + W_2, \quad F_2 = -W_2 - 2W_1, \quad F_3 = -W_2, \\ F_4 &= W_2 + W_3, \quad F_5 = W_1 - W_3, \quad F_6 = W_3/6. \end{aligned} \quad (10)$$

Поскольку  $F_1 = F_4 - F_5 - 12F_6$ ,  $F_2 = -F_4 - 2F_5 - 6F_6$ ,  $F_3 = -F_4 + 6F_6$ , то в силу (8) таким же равенствам удовлетворяют диффузионные потоки

$$\begin{aligned} N_1 &= N_4 - N_5 - 12F_6, \quad N_2 = -N_4 - 2N_5 - 6F_6, \\ N_3 &= -N_4 + 6F_6. \end{aligned} \quad (11)$$

С учетом (9)-(II), а также равенства  $c_6 = 1 - \sum_{i=1}^5 c_i$  краевая задача формулируется в виде:

$$\frac{1}{r^2} \frac{d}{dr} (r^2 N_i) = F_i, \quad 0 < r < r_0, \quad i = 4, 5, 6;$$

$$\frac{dc_i}{dr} = \sum_{\substack{j=1 \\ j \neq i}}^6 \frac{1}{D_{ij}} (c_i N_j - c_j N_i), \quad i = 1, \dots, 5; \quad (12)$$

$$r = 0: \quad N_4 = N_5 = N_6 = 0; \quad r = r_0; \quad c_i = c_i^0, \quad i = 1, \dots, 5.$$

Обозначим через  $S$  масштаб диффузионных потоков, через  $K$  - масштаб констант скоростей реакций и перейдем в (12) к безразмерным величинам

$$r = r_0 x, \quad K_k = K k_i, \quad W_i = K g_i, \quad N_i = S y_i, \quad D_{ij} = r_0 S d_{ij}, \quad Q = r_0 K / S, \quad (13)$$

придав краевой задаче "стандартный вид" (I):

$$\frac{dc_i}{dx} = f_i = \sum_{\substack{j=1 \\ j \neq i}}^6 \frac{1}{d_{ij}} (c_i y_j - c_j y_i), \quad 0 < x < 1, \quad i = 1, \dots, 5;$$

$$\frac{dy_4}{dx} = f_6 = -\frac{2}{x} y_4 + Q(g_2 + g_3); \quad \frac{dy_5}{dx} = f_7 = -\frac{2}{x} y_5 + Q(g_1 - g_3); \quad (14)$$

$$\frac{dy_6}{dx} = f_8 = -\frac{2}{x} y_6 + \frac{1}{6} Q g_3;$$

$$x = 0: \quad y_4 = y_5 = y_6 = 0; \quad x = 1: \quad c_i = c_i^0, \quad i = 1, \dots, 5.$$

Здесь

$$y_1 = y_4 - y_5 - 12y_6, \quad y_2 = -y_4 - 2y_5 - 6y_6, \\ y_3 = -y_4 + 6y_6, \quad c_6 = 1 - (c_1 + c_2 + c_3 + c_4 + c_5),$$

$$g_1(c) = k_1 \left[ c_2 \left( \frac{c_1}{c_5} \right)^{1/4} - k_2 \left( \frac{c_5}{c_1} \right)^{1/4} \right],$$

$$g_2(c) = k_3 (c_2 c_3 - k_4 c_1 c_4),$$

$$g_3(c) = k_5 c_5 + k_6 \frac{c_5^1}{c_1},$$

где  $c$  — вектор размерности  $n_0$  с компонентами  $c_i$ . Раскрыв особенности при  $x=0$ , получим для  $f_6$ ,  $f_7$  и  $f_8$  следующие выражения:

$$x=0: \quad f_6 = \frac{Q}{3} (g_2 + g_3), \quad f_7 = \frac{Q}{3} (g_1 - g_3), \quad f_8 = \frac{Q}{18} g_3.$$

Важной характеристикой протекания  $j$ -й реакции, вычисляемой на решении (8), является фактор эффективности использования пористого зерна катализатора  $\eta_j$ , равный отношению так называемой наблюдаемой скорости реакции к  $W_j(c^0)$ :

$$\eta_j = \frac{3}{W_j(c^0)} \int_0^1 x^2 W_j[c(x)] dx, \quad j = 1, \dots, m_0, \quad (15)$$

где  $c^0$  — вектор значений концентраций на поверхности зерна,  $x = r/r_0$ . Обращаясь к рассматриваемой проблеме, заметим, что согласно определению  $\eta_j$  и в силу (14)

$$y_4(1) = Q \int_0^1 x^2 [g_2(c(x)) + g_3(c(x))] dx = \frac{Q}{3} [g_2(c^0) \eta_2 + g_3(c^0) \eta_3],$$

$$y_5(1) = Q \int_0^1 x^2 [g_1(c(x)) - g_3(c(x))] dx = \frac{Q}{3} [g_1(c^0) \eta_1 - g_3(c^0) \eta_3],$$

$$y_6(1) = \frac{Q}{6} \int_0^1 x^2 g_3(c(x)) dx = \frac{Q}{18} g_3(c^0) \eta_3.$$

Отсюда с учетом (15) получим для вычисления  $\eta_1, \eta_2, \eta_3$  следующие простые формулы:

$$\eta_1 = 3 \frac{y_5(1) + 6y_6(1)}{Qg_1(c^0)}, \quad \eta_2 = - \frac{3y_3(1)}{Qg_2(c^0)}, \quad \eta_3 = \frac{18y_6(1)}{Qg_3(c^0)}. \quad (16)$$

В качестве параметра краевой задачи (14) выберем  $Q$ . Очевидно, при  $Q = 0$  точное решение (14) имеет вид

$$y_i = 0, \quad c_i = c_i^0, \quad i = 1, \dots, 6.$$

При этом  $\eta_j = 1$ ,  $j = 1, 2, 3$ . На рис. I приведены зависимости  $\eta_1$ ,

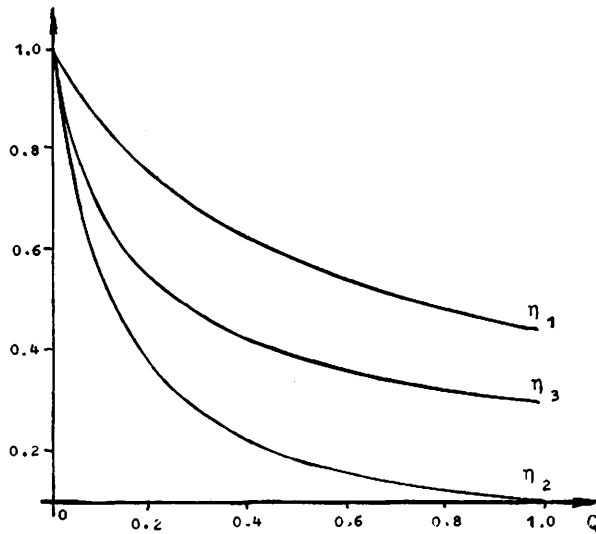


Рис. I

$\eta_2$  и  $\eta_3$  от  $Q$ , построенные на решениях (14) при следующих значениях параметров:

$$\begin{aligned} c_1^0 &= 0.08; \quad c_2^0 = 0.70; \quad c_3^0 = 0.12; \quad c_4^0 = 0.06; \quad c_5^0 = 0.03; \quad c_6^0 = 0.01; \\ k_1 &= 0.3; \quad k_2 = 2.809, \quad k_3 = 16, \quad k_4 = 14.35, \quad k_5 = 4.8, \quad k_6 = 44.79; \\ d_{12} &= 3.48, \quad d_{13} = 0.756, \quad d_{14} = 0.121, \quad d_{15} = 0.748, \quad d_{16} = 0.375; \\ d_{23} &= 2.99, \quad d_{24} = 4.13, \quad d_{25} = 2.89, \quad d_{26} = 1.51, \quad d_{34} = 0.987, \\ d_{35} &= 0.625, \quad d_{36} = 2.93, \quad d_{45} = 0.100, \quad d_{46} = 0.487, \quad d_{56} = 0.318, \end{aligned}$$

где  $d_{ij}$ ,  $i, j = 1, \dots, n_0$ ,  $i \neq j$  – элементы симметрической матрицы размерности  $n_0 \times n_0$ . Отрезок  $[0, 1]$  по переменной  $x$  был разбит на 10 частей ( $M = 11$ ). При этом на каждом шаге по  $Q$  решалась система трансцендентных уравнений (5) размерности  $N = 88$ .

3. Применение параметризации предполагает существование, единственность и непрерывную зависимость решения краевой задачи от скалярного параметра  $t$ , принадлежащего некоторому отрезку  $[t_0, t_1]$ . Однако типичной является ситуация, когда информация такого рода отсутствует, а исследование нелинейной проблемы носит характер численного эксперимента. В этих условиях численный метод продолжения решения по параметру должен учитывать возможность ветвления решений (I) по  $t$  [2–8].

Пусть система

$$\Phi(y, t) = 0, \quad \Phi(y, t) \equiv F(y, \mu(t)), \quad (I7)$$

состоящая из  $N$  трансцендентных уравнений, является дискретной моделью задачи (I). Будем предполагать, что (I7) определяет на отрезке  $[t_0, t_1]$  вектор-функцию  $y = y(t)$ , которая задает в параметрическом виде гладкую пространственную кривую. Тогда ветвление решений (I7), если оно имеет место, при некотором  $t = t_*$  означает неоднозначность вектор-функции  $y(t)$ . С приближением  $t$  к  $t_*$ , где одна ветвь  $y(t)$  переходит в другую, матрица якобиана становится плохо обусловленной, а норма вектор-функции  $dy/dt$  неограниченно растет. При этом продолжение решения (I7) по параметру  $t$  становится затруднительным, так как нарушаются условия применимости метода Ньютона–Канторовича. Однако если предположение о гладкости  $y(t)$  выполняется, то проблема может быть разрешена путем простой замены параметра системы (I7). Действительно, поскольку пространственная кривая не имеет особых точек, то ранг матрицы  $A = [\Phi_y, \Phi_t]$  размерности  $N \times (N+1)$  равен  $N$  для всех  $t \in [t_0, t_1]$ . По теореме о неявной функции в качестве параметра системы можно указать такую  $j$ -ю компоненту вектора  $y$ , что квадратная матрица, полученная в результате вычеркивания  $j$ -го столбца матрицы  $A$ , будет невырожденной. Следовательно, решение системы (I7) в окрестности  $t_*$  представимо в виде

$$y_i = y_i(\lambda), \quad t = t(\lambda), \quad \lambda = y_j, \\ i = 1, \dots, N; \quad i \neq j.$$

иными словами, для построения  $y(t)$  в окрестности  $t_*$  целесообразно применение метода продолжения решения по параметру  $\lambda$ .

При регулярном обращении к процедуре выбора "текущего" параметра  $\lambda$  системы (I7) метод продолжения решения по параметру становится универсальным и эффективным средством численного построения  $y(t)$ , не требующим предварительной информации о множественности решений по  $t$ . По существу, выбор параметра является вычислительной проблемой определения  $N$  линейно-независимых вектор-столбцов матрицы  $A$ , причем в качестве линейно-зависимого и, следовательно, "вычеркиваемого" вектор-столбца матрицы  $A$  может оказаться как  $j$ -й столбец матрицы  $\Phi_Y$ , так и  $\Phi_t$ . Тогда в роли параметра системы (I7) будет выступать соответственно либо  $j$ -я компонента вектора  $Y$ , либо  $t$ . Если при некотором  $t \in [t_0, t_1]$  решение (I7) уже известно, равно как и текущий параметр  $\lambda$ , при фиксированном значении которого решение найдено, то элементарный шаг численного построения  $y(t)$  состоит в выборе нового текущего параметра  $\lambda'$  и продолжении решения системы на один шаг по  $\lambda'$  и так далее.

Отметим, что определение текущего параметра системы при помощи метода Гаусса с выбором главного элемента по всей матрице для больших  $N$  является трудоемкой операцией. Поэтому, принимая во внимание специальную, блочно-двуихдиагональную структуру матрицы  $\Phi_Y$ , мы будем пользоваться правилом, согласно которому параметром системы объявляется наиболее быстро меняющаяся компонента составного вектора  $[Y, t]^T$ .

Обозначим через  $X$  вектор размерности  $N$  с компонентами  $X_i = Y_i$ ,  $i = 1, \dots, N$ , если  $\lambda = t$ . В противном случае параметром системы служит  $j$ -я компонента вектора  $Y$ :  $\lambda = Y_j$ , а вектор  $X$  составляется из компонент  $X_i = Y_i$ ,  $i < j$ ;  $X_i = Y_{i+1}$ ,  $i \geq j$ ;  $X_N = t$ . Очевидно, вектор  $X$  можно представить как решение системы

$$\Phi(X, \lambda) = 0, \quad \det \Phi_X(X, \lambda) \neq 0, \quad (I8)$$

Определив вектор производных решения (I8) по текущему параметру

$$\frac{dX}{d\lambda} = -[\Phi_X(X, \lambda)]^{-1} \Phi_\lambda(X, \lambda),$$

выберем в качестве  $\lambda'$  наиболее быстро меняющуюся компоненту составного вектора  $[X, \lambda]^T$ , т.е.

$$\lambda' = \begin{cases} x_k, & \text{если } |dx_k/d\lambda| > 1; \\ \lambda, & \text{если } |dx_k/d\lambda| \leq 1, \end{cases} \quad (19)$$

где  $k$  определяется условием

$$\left| \frac{dx_i}{d\lambda} \right| = \max_{k=1}^N \left| \frac{dx_k}{d\lambda} \right|, \quad i = 1, \dots, N.$$

После вычеркивания соответствующего вектор-столбца матрицы  $A$  система (17) опять приводится к виду (18) согласно определению  $X$ . При этом компоненты вектора

$$\frac{dy}{d\lambda'} = \frac{dy}{d\lambda} / \frac{dx_k}{d\lambda}, \quad \frac{dt}{d\lambda'} = \frac{dt}{d\lambda} / \frac{dx_k}{d\lambda} \quad (20)$$

по абсолютной величине не превышают единицы.

Для продолжения решения по параметру  $\lambda'$  на шаг  $H$ , знак которого должен быть согласован с предысторией изменения  $\lambda'$ , зададимся начальным приближением решения системы  $\Phi(X, \lambda) = 0$ ,  $\lambda = \lambda' + H$  с учетом (20). Далее обычным образом применяется метод Ньютона-Канторовича. Можно утверждать, что при достаточно хорошей аппроксимации дифференциальной краевой задачи системой (18) матрица якобиана  $\Phi_X(X, \lambda)$  будет невырожденной в силу непрерывной зависимости краевой задачи от параметров.

Заметим, что когда  $t$  не является текущим параметром, система (18) служит дискретной моделью краевой задачи (I),  $\mu = \mu(t)$ , где  $t$  подлежит определению. Пусть  $\lambda = y_j$ ,  $j = 1, \dots, N$ , и  $j$  соответствует  $k$ -я компонента вектора  $y^i$ ,  $k = 1, \dots, n$ ;  $i = 1, \dots, M$ , составного вектора  $Y$  (5). Тогда от решения задачи (I) требуется, чтобы  $k$ -я компонента вектор-функции  $y(x)$  принимала заданное значение  $\lambda$  при  $x = x_i$ , где  $x_i$  - узел сетки по  $x$ .

Структура матрицы  $\Phi_X$  зависит от выбора текущего параметра системы. Если  $\lambda = t$ , то в силу (17)  $\Phi_X = F_Y$  и, следовательно,  $\Phi_X$  - блочно-двухдиагональная матрица, рассмотренная ранее в п. I. Если  $\lambda$  -  $j$ -я компонента вектора  $Y$ , то  $\Phi_X = [\Phi_Y, \Phi_t]$ , где  $\Phi_Y$  - матрица размерности  $N \times (N-1)$ , образующаяся после вычеркивания  $j$ -го вектор-столбца матрицы  $F_Y$ , а  $N$ -м столбцом  $\Phi_X$  является  $\Phi_t$ .

Тем не менее это не служит препятствием для организации метода типа прогонки, учитывающего структуру  $\Phi_X$  и позволяющего находить решение систем линейных алгебраических уравнений, которые возникают на каждой итерации, за число арифметических операций порядка  $N$ .

Другим важным фактором, определяющим эффективность параметризации, является задание начального приближения. Пусть  $\bar{X}$  – решение (18) при  $\lambda = \bar{\lambda}$  и требуется продолжить решение по  $\lambda$  на шаг  $\bar{H}$ . Если величина шага  $\bar{H}$  достаточно мала, то вектор

$$X^0 = \bar{X} + \frac{dX}{d\lambda} \Big|_{\lambda=\bar{\lambda}}, \quad \bar{H}$$

предсказывает решение системы  $\Phi(X, \bar{\lambda} + \bar{H})=0$  со вторым порядком точности. Вообще говоря, чем меньше  $|\bar{H}|$ , тем меньше требуется число итераций, необходимых для того, чтобы норма вектора поправки была меньше заданного  $\epsilon$ . Это обстоятельство используется для адаптации шага по текущему параметру при продолжении решения. Если  $\lambda$  не является стартовым значением параметра при построении  $Y(t)$ , то, привлекая  $X$  и  $dX/d\lambda$  при  $\lambda = \bar{\lambda} - \hat{H}$ , где  $\hat{H}$  – предшествующий шаг по  $\lambda$ , можно взять в качестве  $X^0$  интерполяционный многочлен 3-й степени, повысив порядок точности предсказания до четвертого.

Иногда удобно после выбора текущего параметра системы  $\lambda$  перейти к универсальному параметру – длине дуги в пространственной кривой, определяемой системой (18):

$$ds = \pm dx \sqrt{1 + \sum_{i=1}^N (dx_i/d\lambda)^2}, \quad (21)$$

где выбор знака согласуется с условием положительности  $ds$ . С учетом (21) в качестве начального приближения  $X^0$  можно рассматривать результат численного интегрирования по  $s$  задачи Коши для системы  $N+1$  дифференциальных уравнений с правой частью – вектор-функцией  $[(dx/d\lambda)(d\lambda/ds), d\lambda/ds]^T$  на отрезке  $[\bar{s}, \bar{s} + \delta]$ , соответствующем отрезку  $[\bar{\lambda}, \bar{\lambda} + \bar{H}]$ , и начальным условиям:  $X = \bar{X}$ ,  $\lambda = \bar{\lambda}$  при  $s = \bar{s}$ .

Рассматриваемый метод может быть использован для численного исследования задачи (I) в интересующей области изменения параметра  $\mu$  путем продолжения решения вдоль каждой из некоторой серии

кривых, задаваемых набором функций  $\mu(t)$ . Следует подчеркнуть, что здесь не затрагивается проблема ветвления решений, обусловленная существованием особых точек пространственной кривой, а также проблема множественности пространственных кривых, определяемых соотношениями (17).

4. Ветвление решений характерно для нелинейных краевых задач, моделирующих неизометрические установившиеся процессы. В качестве примера применения метода параметризации рассмотрим нелинейную краевую задачу, описывающую экзотермическую реакцию с аррениусской зависимостью скорости реакции от температуры в зерне катализатора. С использованием безразмерных величин имеем [7,16]:

$$\begin{aligned} \frac{d^2T}{dx^2} &= \frac{\alpha}{x} \frac{dT}{dx} + \beta Q c^k \exp[\gamma(1 - \frac{1}{T})] = 0, \quad 0 < x < 1; \\ \frac{d^2c}{dx^2} + \frac{\alpha}{x} \frac{dc}{dx} - Q c^k \exp[\gamma(1 - \frac{1}{T})] &= 0; \\ x = 0: \quad \frac{dT}{dx} = \frac{dc}{dx} &= 0; \\ x = 1: \quad \frac{dT}{dx} = Nu(1-T), \quad \frac{dc}{dx} &= S_h(1-c). \end{aligned} \tag{22}$$

Здесь  $x$  – нормированная линейная координата;  $\alpha = 0, 1, 2$  для зерна плоской, цилиндрической и сферической форм соответственно;  $T, c$  – безразмерные температуры и концентрация;  $\beta, \gamma, Q, Nu, S_h$  – параметры, характеризующие тепло- и массообмен процесса и скорость реакции;  $k$  – порядок реакции. Введя обозначения

$$y_1 = \gamma(T - 1), \quad y_2 = 1 - c,$$

представим (22) в виде:

$$\frac{dy_1}{dx} = y_3,$$

$$\frac{dy_2}{dx} = y_4,$$

$$\frac{dy_3}{dx} = -\frac{\alpha}{x} y_3 - \beta \gamma Q (1-y_2)^k \exp\left(\frac{y_1}{1+y_4/\gamma}\right),$$

$$\frac{dy_4}{dx} = -\frac{\alpha}{x}y_4 - Q(1 - y_2)^k \exp\left(\frac{y_1}{1+y_1/\gamma}\right),$$

$$x = 0: \quad y_3 = y_4 = 0,$$

$$x = 1: \quad Nu y_1 + y_3 = 0, \quad S_h y_2 + y_4 = 0.$$

На рис.2 приведены результаты вычислений (повторяющие результаты из [7, I6]) фактора эффективности

$$\eta = (\alpha+1) \frac{Nu y_1(1)}{\beta \gamma Q}$$

при  $\alpha = 0, 1, 2$ ;  $k = 1$ ,  $\beta = 1/3$ ,  $\gamma = 27$ ,  $Nu = 10$ ,  $S_h = 60$ . С

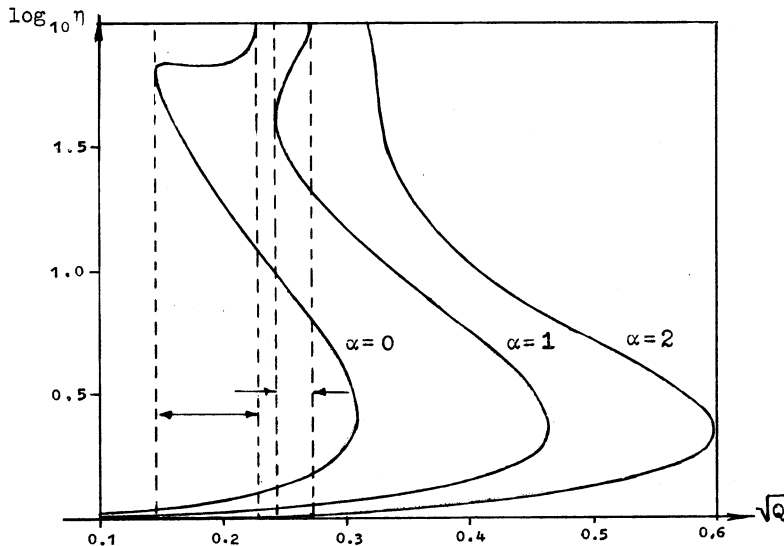


Рис. 2

учетом продолжения графиков при  $\log_{10} \eta > 2$  выделены области изменения  $Q$ , играющего роль параметра  $t$  системы (I7), с пятью решениями при  $\alpha = 0$  и  $\alpha = 1$ . При  $\alpha = 2$  число решений не более трех.

Пример применения параметризации для изучения поведения рассматриваемой задачи в некоторой окрестности изменения параметров  $Q$  и  $Nu$  представлен на рис.3. Вдоль кривой, образующей в плоскости  $(Q, Nu)$  петлю прямоугольной формы, вычисляется фактор эф-

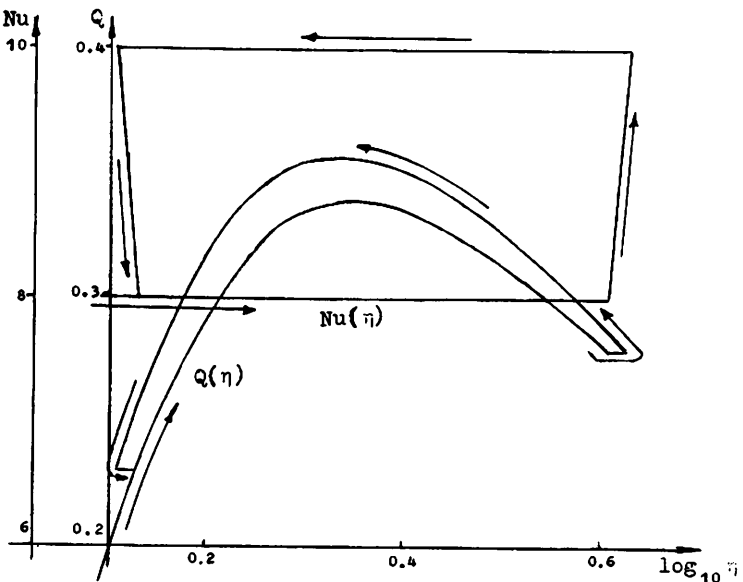


Рис. 3

фективности  $\eta$ . С учетом направления обхода, указанного на рисунке стрелками, петля задавалась точками:  $(0,8) \rightarrow (Q_0, 8) \rightarrow (Q_0 10) \rightarrow \rightarrow (Q_1, 10) \rightarrow (Q_1, 8)$ , где  $Q_0 = 0.279$ ,  $Q_1 = 0.23$ . При этом на каждом из прямолинейных отрезков петли за параметр системы бралася изменяющийся параметр ( $Q$  или  $Nu$ ). На рисунке даны зависимости  $Q(\eta)$  и  $Nu(\eta)$ .

5. Математическое моделирование стационарных режимов работы реактора идеального вытеснения приводит к проблеме совместного решения краевой задачи (I) и задачи Коши:

$$\frac{d\mu}{dt} = \phi(y, \mu), \quad t > 0, \quad \mu(0) = \mu^0, \quad (23)$$

где достаточно гладкая вектор-функция  $\phi$  определена в некоторой окрестности  $\mu^0$  на решениях (I). Приближенно, заменив (I) дискретной моделью (2), будем предполагать, что при  $t = 0$  известно начальное приближение решения (2), используя которое можно найти  $Y(\mu^0)$  и, следовательно, правую часть системы обыкновенных дифференциальных уравнений (23) при  $t = 0$ .

Пусть для решения задачи Коши (23) применяется какой-либо явный метод численного интегрирования. Рассмотрим реализацию элементарного шага этого метода, описав правило вычисления  $d\mu/dt$  при  $t = \delta$ , если  $\Upsilon(\mu^0)$  и  $\phi(\mu^0)$  уже известны. Полагая  $\mu = \mu^0 + \phi(\mu^0)\delta$ , обратимся к уравнению  $F(Y, \mu) = 0$ , на решении которого определяется  $d\mu/dt = \phi(\mu)$ . Начальное приближение решения  $Y^0$  будем строить с учетом информации при  $t=0$ . Для этого наряду с  $\Upsilon(\mu^0)$  и  $\phi(\mu^0)$  при  $t=0$  требуется найти матрицу якобиана

$$Y_\mu(\mu^0) = -[F_Y(Y(\mu^0), \mu^0)]^{-1} F_\mu(Y(\mu^0), \mu^0).$$

В результате становится известной производная решения по параметру

$$\frac{dY}{dt}|_{t=0} = Y_\mu(\mu^0) \frac{d\mu}{dt}|_{t=0} = Y_\mu(\mu^0) \phi(\mu^0),$$

а вместе с этим и начальное приближение

$$Y^0 = Y(\mu^0) + Y_\mu(\mu^0) \phi(\mu^0) \delta.$$

Если  $|\delta|$  достаточно мало, то  $Y^0$  будет достаточно хорошо предсказывать решение системы  $F(Y, \mu) = 0$  и, следовательно, потребуется небольшое число итераций по методу Ньютона-Канторовича при определении  $Y(\mu)$ . Таким образом, задача Коши (23) задает правило параметризации системы (2).

Математическая модель стационарных режимов работы реактора идеального вытеснения в виде (I), (23) отражает взаимодействие процессов в потоке газа и зерне катализатора. Если в условиях изотермической диффузии в зерне катализатора химическая реакция является наиболее быстрой стадией, то учет неоднородностей в распределении концентраций по сечению зерна становится существенным. Характеристикой неоднородности служит фактор эффективности  $\eta$ .

Рассмотрим простейшую модель адабатического реактора идеального вытеснения с одной реакцией типа  $A \rightarrow B$ . Нас будет интересовать распределение температуры  $T$  и концентрации вещества  $A$  в потоке газа по длине реактора. При формулировке задачи воспользуемся безразмерными величинами.

Краевая задача, описывающая изотермическую диффузию в зерне катализатора, имеет вид

$$\frac{d^2y}{dx^2} + \frac{2}{x} \frac{dy}{dx} = Qf(y), \quad 0 < x < 1, \quad (24)$$

$$x = 0: \frac{dy}{dx} = 0; \quad x = 1, \quad y = v.$$

Здесь  $x$  – нормированная линейная координата;  $y$  – безразмерная концентрация, равная  $v$  на поверхности зерна;

$$f(y) = y^k, \quad Q = \beta u(\theta) = \beta \exp\left(\frac{\theta}{1+\theta/\gamma}\right), \quad \gamma = \frac{E}{RT_0},$$

где  $k$  – показатель порядка реакции;  $\beta$  – параметр, пропорциональный отношению теплового эффекта химической реакции к коэффициенту диффузии;  $\theta$  – безразмерная температура;  $T_0$  – температура на входе реактора;  $E$  – энергия активации;  $R$  – газовая постоянная. Температура  $T$  связана с  $\theta$  соотношением  $T = T_0(1 + \theta/\gamma)$ .

Согласно определению, фактор эффективности вычисляется по формуле

$$\eta = \frac{3}{f(v)} \int_0^1 f(y(x)) x^2 dx = \frac{1}{Qf(v)} \cdot \frac{dy}{dx} \Big|_{x=1}.$$

Распределение температуры и концентрация по длине реактора описывается задачей Коши:

$$\begin{aligned} \frac{dv}{dt} &= -u(\theta)f(v)\eta, \\ \frac{1}{\gamma} \frac{d\theta}{dt} &= \alpha u(\theta)f(v)\eta, \quad t > 0; \end{aligned} \quad (25)$$

$$t = 0: v = v_0, \theta = 0, \quad 0 < v_0 < 1.$$

Здесь  $t$  – безразмерное текущее время пребывания реагирующего вещества в реакторе, пропорциональное отношению линейной координаты к постоянной скорости потока,  $\alpha$  – коэффициент, пропорциональный тепловому эффекту химической реакции. Заметим, возвратившись к (23), что вектор  $\mu$  в данном случае состоит из двух компонент:  $\mu = [v, \theta]^T$ .

Для того чтобы описание способа решения уравнения (23) было более наглядным на рассматриваемом примере, воспользуемся при формулировке дискретной модели (24) методом сплайн-коллокации [17] (что не принципиально). Введем сетку по  $x$ , разбив отрезок  $[0, 1]$  на  $M$  равных частей:  $x_i = h(i-1)$ ,  $h = 1/M$ ,  $i = 1, \dots, M+1$ , и будем искать  $y(x)$  (24) в виде кубического сплайна с узлами коллокаци-

ции, совпадающими с  $x_i$ :

$$y(x) = \sum_{j=0}^{M+2} b_j B_j(x), \quad (26)$$

где  $b_j$  – коэффициенты разложения кубического сплайна по базису из нормализованных кубических B-сплайнов. При этом следует ожидать погрешность аппроксимации  $y(x)$  порядка  $h^2$ . Согласно определению  $B_i(x)$  в узлах сетки имеем:

$$x = x_i: \quad y \approx \frac{1}{6}(b_{i-1} + 4b_i + b_{i+1}),$$

$$\frac{dy}{dx} \approx \frac{b_{i+1} - b_{i-1}}{2h}, \quad \frac{d^2y}{dx^2} \approx \frac{b_{i-1} - 2b_i + b_{i+1}}{h^2}.$$

После подстановки этих выражений в (24) приходим к системе из  $M+1$  трансцендентных уравнений

$$F(b; Q, v) = 0, \quad (27)$$

где  $b = [b_1, \dots, b_{M+1}]^T$  – неизвестный вектор размерности  $M+1$ ;  $Q$  и  $v$  – параметры системы (27), а компоненты вектор-функции  $F(b; Q, v)$  определяются по формулам:

$$F_1 = -b_1 + b_2 - \frac{h^2 Q}{6} f(y_1), \quad y_1 = \frac{2y_1 + y_2}{3},$$

$$F_i = \frac{i-2}{i-1} b_{i-1} - 2b_i + \frac{i}{i-1} b_{i+1} - h^2 Q f(y_i), \quad y_i = \frac{b_{i-1} + 4b_i + b_{i+1}}{6},$$

$$i = 2, 3, \dots, M,$$

$$F_{M+1} = -\frac{2}{M} b_M - 2(1+2 \frac{M+1}{M}) b_{M+1} - h^2 Q f(v) - 6 \frac{M+1}{M} v.$$

Параметры  $b_0$  и  $b_{M+2}$  исключены при помощи краевых условий задачи (24):

$$b_0 = b_2, \quad b_{M+2} = 6v - b_M - 4b_{M+1}.$$

Заметим, что (27) выгодно отличается от обычной разностной схемы по ряду обстоятельств, одним из которых является более высокая (с погрешностью порядка  $h^4$ ) степень аппроксимации первой производной в краевых условиях, что положительно сказывается на

точности численного решения. При  $k=1$  краевая задача (24) имеет точное решение

$$y(x) = v \frac{\operatorname{sh}(x\sqrt{Q})}{x \operatorname{sh}(\sqrt{Q})}, \quad \eta = \frac{3}{Q} [\sqrt{Q} \operatorname{cth}(\sqrt{Q}) - 1],$$

ориентируясь на которое, можно подобрать необходимое число разбиений  $M$ .

Очевидно,  $F_b$  является трехдиагональной матрицей с компонентами:

$$\frac{\partial F_1}{\partial b_1} = -1 - \frac{h^2 Q}{9} f'(y_1), \quad \frac{\partial F_1}{\partial b_2} = 1 - \frac{h^2 Q}{18} f'(y_1),$$

$$\frac{\partial F_i}{\partial b_{i-1}} = \frac{i-2}{i-1} - \frac{h^2 Q}{6} f'(y_i), \quad \frac{\partial F_i}{\partial b_{i+1}} = \frac{i}{i-1} - \frac{h^2 Q}{6} f'(y_i),$$

$$\frac{\partial F_i}{\partial b_i} = -2 - \frac{2h^2 Q}{3} f'(y_i), \quad i = 2, 3, \dots, M,$$

$$\frac{\partial F_{M+1}}{\partial b_M} = -\frac{2}{M}, \quad \frac{\partial F_{M+1}}{\partial b_{M+1}} = -2(1+2 \frac{M+1}{M}),$$

где  $f'(y) = ky^{k-1}$ . Поскольку матрица  $F_b$  характеризуется свойством диагонального преобладания, то для решения системы линейных алгебраических уравнений

$$F_b \Delta b = -F,$$

определенной вектор поправки  $\Delta b$  на каждой итерации по методу Ньютона-Канторовича, применим эффективный метод прогонки [18]. То же самое относится и к системам

$$F_b \frac{\partial b}{\partial Q} = -F_Q, \quad F_b \frac{\partial b}{\partial v} = -F_v$$

относительно вектора производных решения системы (27) по параметру  $Q$  и параметру  $v$ . Здесь  $F_Q$  и  $F_v$  – векторы с компонентами:

$$\frac{\partial F_1}{\partial Q} = -\frac{h^2}{6} f(y_1), \quad \frac{\partial F_1}{\partial v} = 0,$$

$$\frac{\partial F_i}{\partial Q} = -\frac{h^2}{6} f(y_i), \quad \frac{\partial F_i}{\partial v} = 0, \quad i = 2, 3, \dots, M,$$

$$\frac{\partial F_{M+1}}{\partial Q} = -h^2 f(v), \quad \frac{\partial F_{M+1}}{\partial v} = -h^2 Q f'(v) + 6 \frac{M+1}{M}.$$

Рассматривая  $t$  как скалярный параметр, в (27) введем обозначение

$$\Phi(b, t) = F[b, Q(t), v(t)] = 0. \quad (28)$$

Пусть при некотором  $t$  известны  $v(t)$ ,  $\theta(t)$  и, следовательно,  $\theta(t) = \beta u[\theta(t)]$ . После того, как найдены вектор  $b$  из (28), а также векторы  $\partial b / \partial Q$ ,  $\partial b / \partial v$  и фактор эффективности

$$\eta = \frac{3}{Qf(v)} \cdot \frac{b_{M+2} - b_M}{2h},$$

вычисляются правые части (25),  $dv/dt$  и  $d\theta/dt$ , а затем вектор

$$\frac{db}{dt} = \frac{\partial b}{\partial Q} \cdot \frac{dQ}{dt} \cdot \frac{d\theta}{dt} + \frac{\partial b}{\partial v} \frac{dv}{dt}, \quad \frac{dQ}{dt} = \beta \frac{du}{d\theta},$$

или

$$\frac{db}{dt} = \eta u(\theta) f(v) \left[ \alpha \beta \frac{dQ}{d\theta} \frac{\partial b}{\partial Q} - \frac{\partial b}{\partial v} \right].$$

Теперь, согласно выбранному методу решения задачи Коши (метод Рунге-Кутта), ищется решение системы  $\Phi(b, t + \Delta t) = 0$  с вектором  $b(t) + \frac{db}{dt} \Delta t$  в качестве начального приближения и параметрами системы  $v$  и  $Q$ , значения которых равны  $v(t) + \frac{dv}{dt} \Delta t$ ,  $Q(t) + \frac{dQ}{dt} \Delta t$  соответственно, и так далее.

Результаты численного решения задачи (24), (25) при  $\alpha = 2$ ,  $\beta = 0.1$ ,  $\gamma = 20$ ,  $v_0 = 0.5$  представлены на рис. 4. Здесь приведены зависимости  $T/T_0$  от  $t$  и  $v$  в случае реакции первого, второго и третьего порядка ( $k = 1, 2, 3$ ). Как следует из (25),  $T$  линейно зависит от  $v$ . С ростом  $t$  (т.е. с увеличением длины реактора при одной и той же скорости потока)  $v$  стремится к нулю, а  $T$  — к максимальному значению  $T_\infty = T_0(1 + \alpha v_0)$ .

6. Параметризация, описанная в п. 3, позволяет унифицировать численное решение достаточно широкого класса нелинейных краевых задач, представленных в виде (I). С этой точки зрения расчет математических моделей стационарных режимов в зерне катализатора яв-

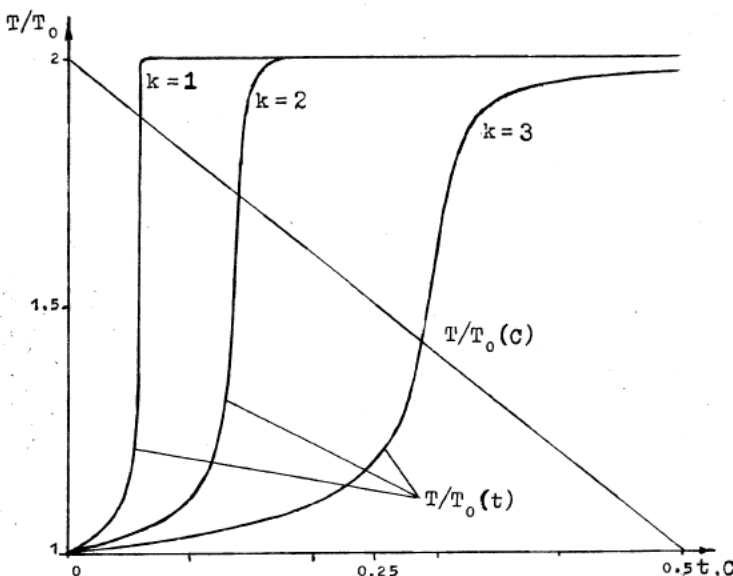


Рис. 4

ляется иллюстрацией применения предлагаемого метода. Заметим, что благодаря параметризации достигается структурная устойчивость краевой задачи (I). Тем самым разделяются проблема численного построения стационарных режимов и проблема их устойчивости по Ляпунову. Последняя становится просто очередным этапом исследования. В Институте математики СО АН СССР имеется программная реализация метода на языках "BASIC" и "FORTRAN". В частности, по этим программам были проведены расчеты, связанные с краевыми задачамипп. 2 и 4.

Автор выражает благодарность С.К.Годунову за проявленный интерес к работе. Конкретная формулировка краевой задачи, описывающая многокомпонентную диффузию, принадлежит С.И.Решетникову, и автору были весьма полезны обсуждения с ним результатов численного эксперимента.

#### Л и т е р а т у р а

1. КАНГОРОВИЧ Л.В. Функциональный анализ и прикладная математика //Успехи мат.наук. - 1948. - Т.3, №6. - С. 89-175.
2. KELLER H.B. Numerical methods for two-point boundary-value problems. - Ontario-London, Waltham, Mass-Toronto: Blaisdell Publishing Co, 1968.-184 p.

3. ОРТЕГА Дж., РЕЙНБОЛДТ В. Итерационные методы решения нелинейных систем уравнений со многими неизвестными. - М.: Мир, 1975. - 558 с.
4. ОДЕН Дж. Конечные элементы в нелинейной механике сплошных сред. - М.: Мир, 1976. - 464 с.
5. KUBICEK M., MAREK M. Computational Methods in Bifurcation Theory and Dissipative Structures.- New York-Berlin-Heidelberg-Tokyo: Springer-Verlag, 1983. - 243 p.
6. KUBICEK M. Dependence of Solution of Nonlinear System on Parameter// ACM Transactions on Mathematical Software. - 1976. - Vol.2,N 1.-P.98-107.
7. ЛУКЬЯНОВА Р.Г., ФАДЕЕВ С.И., ШЕППЛЕВ В.С. К расчету экзо-термической реакции первого порядка на зерне катализатора //Методы сплайн-функций. - Новосибирск, 1981. - Вып. 87: Вычислительные системы. - С. 99-113.
8. ФАДЕЕВ С.И. О решении системы трансцендентных уравнений с параметром методом Ньютона //Сплайн-аппроксимация и численный анализ. - Новосибирск, 1985. - Вып. 108: Вычислительные системы. - С. 78-93.
9. БЕЛЛМАН Р., КАЛАБА Р. Квазилинеаризация и нелинейные краевые задачи. - М.: Мир, 1968.
10. ГОДУНОВ С.К. О численном решении краевых задач для систем линейных обыкновенных дифференциальных уравнений //Успехи мат. наук. - 1961. - Т.16, № 3. - С. 171-175.
11. КУЗНЕЦОВ С.В. Решение краевых задач для обыкновенных дифференциальных уравнений //Тр. Института математики СО АН СССР. - 1985. - Т.6. - С. 85-110.
12. ФРАНК-КАМЕНЕЦКИЙ Д.Д. Диффузия и теплопередача в химической кинетике. - М.: Наука, 1967. - 490 с.
13. ИОФФЕ И.И., ПИСЬМЕН Л.М. Инженерная химия гетерогенного катализа. - Л.: Химия, 1972. - 464 с.
14. ARIS R. The mathematical theory of diffusion and reaction in permeable catalysis.- Oxford: Clarendon press, 1975.- Vol.1. - 386 p.
15. RESHETNIKOV S.I., FADEEV S.I., SHEPPELEV V.S. Methods for finding steady-state solutions of mathematical models for chemico-technological schemes// React. Kinet., Catal.Lett.-1986.-Vol.30, N 2.- P.275-281.
16. PATTERSON W.R., GRESSWELL D.L. A simple method for the calculation of effectiveness factors// Chemical Engineering Science.-1971.-Vol.26.- P.605-616.
17. ЗАВЬЯЛОВ Ю.С., КВАСОВ Б.И., МИРОШНИЧЕНКО В.Л. Методы сплайн-функций. - М.: Наука, 1980. - 352 с.
18. ГОДУНОВ С.К., РЯБЕНЬКИЙ В.С. Разностные схемы. - М.:Наука, Гл.ред. физ.-мат.лит., 1973. - 400 с.

Поступила в ред.-изд. отд.  
3 июня 1987 года